

УДК 539.375

ВЗАИМОДЕЙСТВИЕ ДИСКОВИДНОЙ МАКРОТРЕЩИНЫ
С ПОЛЕМ РАСПРЕДЕЛЕННЫХ МИКРОТРЕЩИН

РОМАЛИС Н. Б., ТАМУЖ В. П.

Рассматривается пространственная задача о взаимодействии дискообразной трещины с полем произвольно расположенных и ориентированных дискообразных микротрещин. Решение получено методами теории потенциала с использованием общей системы интегральных уравнений и метода малого параметра. Различные подходы к исследованию разрушения и накопления повреждений предлагались в [1-4].

1. Рассмотрим упругое бесконечное тело, содержащее N произвольно расположенных трещин, одна из которых является макроскопической с радиусом r_0 , а другие имеют радиусы $r_k \ll r_0$. Пусть макротрещина нагружена равномерно распределенным нормальным давлением $\sigma_{30}^{(0)}$, а микротрещины свободны от внешних нагрузок. Выберем начало системы координат в центре макротрещины, а также введем локальные системы координат, связанные с микротрещинами (фиг. 1).

Следуя [5], обозначим через e_{ikn} направляющие косинусы вектора d_{kn} , соединяющего центры k -й и n -й трещины в k -й локальной системе координат, а через l_{sikn} — косинусы углов между осями $O_n x_{in}$ и $O_k x_{ik}$ ($s, i=1, 2, 3$) (k и n всюду далее не тензорные индексы, а номера трещин). Напряженное состояние в теле с трещинами определяется величинами α_{in} , характеризующими скачки перемещений и имеющими размерность длины, посредством уравнений

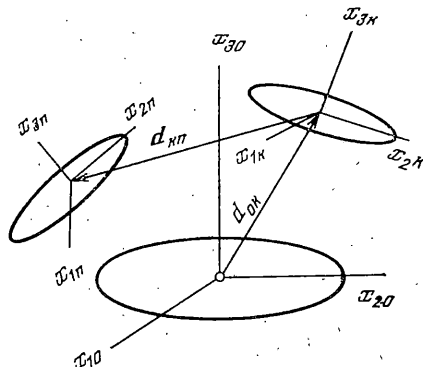
$$\Delta_n \int \int \frac{\alpha_{in}(\xi_1, \xi_2)}{R_n} d\xi_1 d\xi_2 + (-1)^i (1 - \delta_{is}) \left[\frac{\partial^2}{\partial x_{(s-i)k_n} \partial x_{2n}} \times \right. \\ \times \int \int \frac{\alpha_{in}(\xi_1, \xi_2)}{R_n} d\xi_1 d\xi_2 - \frac{\partial^2}{\partial x_{(s-i)n} \partial x_{1n}} \int \int \frac{\alpha_{2n}(\xi_1, \xi_2)}{R_n} d\xi_1 d\xi_2 - \quad (1.1)$$

$$-\sum_{k=0}^N \sum_{s=1}^3 \int \int \Phi_{is} \left(\frac{1}{R_{kn}} \right) \alpha_{sk}(\xi_1, \xi_2) d\xi_1 d\xi_2 = \frac{1-\nu}{\mu} p_{in}(x_{1n}, x_{2n})$$

$$(\Delta_n = \partial^2 / \partial x_{1n}^2 + \partial^2 / \partial x_{2n}^2), \quad R_{kn} = [(x_{1kn} - \xi_1)^2 + (x_{2kn} - \xi_2)^2 + x_{3kn}^2]^{1/2}$$

$$x_{ikn} = e_{ikn} d_{kn} + \sum_{s=1}^3 l_{sikn} x_{sn}, \quad R_n = [(x_{1n} - \xi_1)^2 + (x_{2n} - \xi_2)^2]^{1/2}$$

$$\Phi_{is}(\xi_1, \xi_2, x_{1n}, x_{2n}) = \left(-x_{3kn} \frac{\partial}{\partial x_{3kn}} L_i + K_{is} \right) \left(\frac{1}{R_{kn}} \right)$$



Фиг. 1

$$\left\{ \frac{K_{is}}{L_i} \right\} = \sum_{q=1}^3 \left\{ \frac{M_{qis}}{m_{qikh}} \right\} \frac{\partial^2}{\partial x_{qkh}^2} + \left\{ \frac{M_{qis}^*}{m_{qikh}^*} \right\} \frac{\partial^2}{\partial x_{qkh} \partial x_{(q+1)kh}}$$

где постоянные M_{qis} , M_{qis}^* , m_{qikh} , m_{qikh}^* определяются взаимной ориентацией трещин и свойствами материала [5]:

$$\begin{aligned} M_{1is} &= v \delta_{23} m_{2ikh}^* - (m_{1ikh} + 2v m_{2ikh}) \delta_{3s} \\ M_{2is} &= v \delta_{1s} m_{3ikh}^* - (m_{2ikh} + 2v m_{1ikh}) \delta_{3s} \\ M_{3is} &= \delta_{1s} m_{3ikh}^* + \delta_{2s} m_{2ikh}^* + \delta_{3s} m_{3ikh} \\ M_{1is}^* &= -v \delta_{1s} m_{2ikh}^* - v \delta_{2s} m_{3ikh}^* - (1-2v) m_{1ikh}^* \\ M_{2is}^* &= 2(m_{2ikh} + v m_{1ikh}) \delta_{2s} + (1-v) \delta_{1s} m_{1ikh}^* \\ M_{3is}^* &= 2(v m_{2ikh} + m_{1ikh}) \delta_{2s} + (1-v) \delta_{2s} m_{1ikh}^* \end{aligned}$$

Запишем систему уравнений (1.1), выделив отдельно уравнение для макротрещины

$$\begin{aligned} \Delta_0 \iint_{S_0} \frac{\alpha_{i0}(\xi_1, \xi_2)}{R_0} d\xi_1 d\xi_2 + (-1)^i v (1-\delta_{is}) \times \\ \times \left[\frac{\partial^2}{\partial x_{(3-i)0} \partial x_{20}} \iint_{S_0} \frac{\alpha_{i0}(\xi_1, \xi_2)}{R_0} d\xi_1 d\xi_2 - \right. \\ \left. - \frac{\partial^2}{\partial x_{(3-i)0} \partial x_{10}} \iint_{S_0} \frac{\alpha_{i0}(\xi_1, \xi_2)}{R_0} d\xi_1 d\xi_2 \right] - \\ - \sum_{k=1}^N \sum_{s=1}^3 \left[\Phi_{is} \left(\frac{1}{R_{k0}} \right) \alpha_{sk}(\xi_1, \xi_2) d\xi_1 d\xi_2 = \frac{1-v}{\mu} P_{s0}^{(0)} \delta_{is} \right. \quad (1.2) \\ \Delta_n \iint_{S_n} \frac{\alpha_{in}(\xi_1, \xi_2)}{R_n} d\xi_1 d\xi_2 + (-1)^i v (1-\delta_{is}) \times \\ \times \left[\frac{\partial^2}{\partial x_{(3-i)n} \partial x_{2n}} \iint_{S_n} \frac{\alpha_{in}(\xi_1, \xi_2)}{R_n} d\xi_1 d\xi_2 - \right. \\ \left. - \frac{\partial^2}{\partial x_{(3-i)n} \partial x_{1n}} \iint_{S_n} \frac{\alpha_{in}(\xi_1, \xi_2)}{R_n} d\xi_1 d\xi_2 \right] - \\ - \sum_{s=1}^3 \iint_{S_0} \Phi_{is} \left(\frac{1}{R_{0n}} \right) \alpha_{sn}(\xi_1, \xi_2) d\xi_1 d\xi_2 - \\ - \sum_{k=1}^N \sum_{s=1}^3 \left[\iint_{S_k} \alpha_{sk}(\xi_1, \xi_2) \Phi_{is} \left(\frac{1}{R_{kn}} \right) d\xi_1 d\xi_2 \right] = 0 \end{aligned}$$

Приведем системы $3N$ уравнений (1.2) к безразмерному виду. Учитывая, что α_{in} имеет размерность длины и определена внутри круга S_n , будем искать ее в виде $\alpha_{in} = r_n \beta_{in}$. Сделаем в интегралах замену переменных $\xi_1 = r_n \zeta_1$; $\xi_2 = r_n \zeta_2$. Обозначим $x_{in} = r_n \chi_{in}$. Учтем также, что $R_n = r_n [(\chi_{in} - \zeta_1)^2 + (\chi_{2n} - \zeta_2)^2]^{\frac{1}{2}}$.

$$R_{k0} = r_0 [(\chi_{1k0} - \zeta_1 r_0 / r_0)^2 + (\chi_{2k0} - \zeta_2 r_0 / r_0)^2 + \chi_{3k0}]^{\frac{1}{2}}$$

$$\begin{aligned}
\chi_{ih0} &= e_{ih0} d_{h0}/r_0 + \sum_{s=1}^2 \chi_{s0} l_{ish0} \\
R_{0n} &= r_0 \left[\sum_{i=1}^3 \left(e_{i0n} d_{0n}/r_0 + (r_n/r_0) \sum_{s=1}^2 l_{is0n} \chi_{sn} - \zeta_i \right)^2 \right]^{\frac{1}{2}}, \quad \zeta_s = 0 \\
R_{hn} &= r_0 \left[\sum_{i=1}^3 \left(e_{ihn} d_{hn}/r_0 + (r_n/r_0) \sum_{s=1}^2 l_{ishn} \chi_{sn} - (r_h/r_0) \zeta_i \right)^2 \right]^{\frac{1}{2}} \\
\chi_{ihn} &= e_{ihn} d_{hn}/r_0 + (r_n/r_0) \sum_{s=1}^2 l_{ishn} \chi_{sn}, \quad x_{ihn} = r_0 \chi_{ihn}
\end{aligned} \tag{1.3}$$

Учитывая соотношения (1.3), получим систему уравнений в безразмерном виде (все интегралы берутся по площади единичного круга S):

$$\begin{aligned}
&\Delta_0 \iint_S \frac{\beta_{i0}(\xi_1, \xi_2)}{R_0} d\xi_1 d\xi_2 + (-1)^i v (1-\delta_{is}) \times \\
&\times \left[\frac{\partial^2}{\partial \chi_{(3-i)0} \partial \chi_{20}} \iint_S \frac{\beta_{10}(\xi_1, \xi_2)}{R_0} d\xi_1 d\xi_2 - \right. \\
&- \frac{\partial^2}{\partial \chi_{(3-i)0} \partial \chi_{10}} \iint_S \frac{\beta_{20}(\xi_1, \xi_2)}{R_0} d\xi_1 d\xi_2 - \sum_{k=1}^N \left(\frac{r_k}{r_0} \right)^3 \times \\
&\times \sum_{s=1}^3 \left[\iint_S \Phi_{is} \left(\frac{1}{R_{h0}} \right) \beta_{sh}(\xi_1, \xi_2) d\xi_1 d\xi_2 \right] = \frac{1-v}{\mu} P_{30}^{(0)} \delta_{is}, \\
&\Delta_n \iint_S \frac{\beta_{in}(\xi_1, \xi_2)}{R_n} d\xi_1 d\xi_2 + (-1)^i v (1-\delta_{is}) \left[\frac{\partial^2}{\partial \chi_{(3-i)n} \partial \chi_{2n}} \times \right. \\
&\times \left. \iint_S \frac{\beta_{1n}(\xi_1, \xi_2)}{R_n} d\xi_1 d\xi_2 - \frac{\partial^2}{\partial \chi_{(3-i)n} \partial \chi_{1n}} \iint_S \frac{\beta_{2n}(\xi_1, \xi_2)}{R_n} d\xi_1 d\xi_2 \right] - \\
&- \sum_{s=1}^3 \iint_S \beta_{sn}(\xi_1, \xi_2) \Phi_{is} \left(\frac{1}{R_{0n}} \right) d\xi_1 d\xi_2 - \\
&- \sum_{k=1}^N \left(\frac{r_k}{r_0} \right)^3 \sum_{s=1}^3 \iint_S \beta_{sn}(\xi_1, \xi_2) \Phi_{is} \left(\frac{1}{R_{hn}} \right) d\xi_1 d\xi_2 = 0
\end{aligned} \tag{1.4}$$

Будем искать решение системы уравнений (1.4) в виде ряда по степеням параметра $\lambda = r_h/r_0$ (предположим, что $r_h = r_n$):

$$\beta_{i0} = \sum_{m=0}^{\infty} \lambda^m \beta_{i0}^{(m)}, \quad \beta_{in} = \sum_{m=0}^{\infty} \lambda^m \beta_{in}^{(m)}$$

Система уравнений (1.4) распадается на следующие рекуррентные системы уравнений (выпишем их для нулевого и третьего приближений):

$$\iint_S \frac{\beta_{i0}^{(0)}(\xi_1, \xi_2)}{R_0} d\xi_1 d\xi_2 + (-1)^i v (1-\delta_{is}) \times$$

$$\begin{aligned}
& \times \left[\frac{\partial^2}{\partial \chi_{(3-i)0} \partial \chi_{20}} \iint_S \frac{\beta_{10}^{(0)}(\zeta_1, \zeta_2)}{R_0} d\zeta_1 d\zeta_2 - \right. \\
& \left. - \frac{\partial^2}{\partial \chi_{(3-i)0} \partial \chi_{10}} \iint_S \frac{\beta_{20}^{(0)}(\zeta_1, \zeta_2)}{R_0} d\zeta_1 d\zeta_2 \right] = \\
& = \frac{(1-v) \delta_{is} P_{s0}^{(0)}}{\mu} \\
\Delta_n \iint_S & \frac{\beta_{in}(\zeta_1, \zeta_2)}{R_n} d\zeta_1 d\zeta_2 + (-1)^i v (1-\delta_{is}) \left[\frac{\partial^2}{\partial \chi_{(3-i)n} \partial \chi_{2n}} \times \right. \\
& \left. \times \iint_S \frac{\beta_{in}^{(0)}(\zeta_1, \zeta_2)}{R_n} d\zeta_1 d\zeta_2 - \frac{\partial^2}{\partial \chi_{(3-i)n} \partial \chi_{in}} \iint_S \frac{\beta_{2n}^{(0)}(\zeta_1, \zeta_2)}{R_n} d\zeta_1 d\zeta_2 \right] = \\
& = \sum_{s=1}^3 \iint_S \beta_{s0}^{(0)}(\zeta_1, \zeta_2) \Phi_{is}\left(\frac{1}{R_{0n}^{(0)}}\right) d\zeta_1 d\zeta_2 = \frac{1-v}{\mu} P_{in}^{(0)}
\end{aligned} \tag{1.6}$$

$$\begin{aligned}
\Delta_0 \iint_S & \frac{\beta_{10}^{(3)}(\zeta_1, \zeta_2)}{R_0} d\zeta_1 d\zeta_2 + (-1)^i v (1-\delta_{is}) \times \\
& \times \left[\frac{\partial^2}{\partial \chi_{(3-i)0} \partial \chi_{20}} \iint_S \frac{\beta_{10}^{(3)}(\zeta_1, \zeta_2)}{R_0} d\zeta_1 d\zeta_2 - \right. \\
& \left. - \frac{\partial^2}{\partial \chi_{(3-i)0} \partial \chi_{10}} \iint_S \frac{\beta_{20}^{(3)}(\zeta_1, \zeta_2)}{R_0} d\zeta_1 d\zeta_2 \right] = \\
& = \sum_{k=1}^N \sum_{s=1}^3 \iint_S \beta_{sh}^{(0)}(\zeta_1, \zeta_2) \Phi_{is}\left(\frac{1}{R_{k0}^{(0)}}\right) d\zeta_1 d\zeta_2 = \\
& = \sum_{k=1}^N \sum_{s=1}^3 \Phi_{is}\left(\frac{1}{R_{k0}^{(0)}}\right) \iint_S \beta_{sh}^{(0)}(\zeta_1, \zeta_2) d\zeta_1 d\zeta_2 = \frac{1-v}{\mu} P_{i0}^{(3)}
\end{aligned} \tag{1.7}$$

Величины $P_{k0}^{(0)}$ и $R_{0n}^{(0)}$ имеют вид

$$R_{k0}^{(0)} = [\chi_{1k0}^2 + \chi_{2k0}^2 + \chi_{3k0}^2]^{\frac{1}{2}}, \quad R_{0n}^{(0)} = \left[\sum_{i=0}^3 (e_{ion} d_{0n} / r_0 - \zeta_i)^2 \right]^{\frac{1}{2}}, \quad \zeta_3 = 0
\tag{1.8}$$

т. е. $R_{k0}^{(0)}$ не зависит от ζ_i , а $R_{0n}^{(0)}$ — от χ_{in} . Геометрически это означает, что расстояние между точкой на макротрециине $(\zeta_1, \zeta_2, 0)$ и точкой на микротрециине отождествляется с расстоянием между $(\zeta_1, \zeta_2, 0)$ и центром микротрециины. Это дает возможность применить результаты [6, 7] к решению систем (1.5) и (1.6). Если правая часть уравнений имеет полиномиальный вид, решение представимо в виде полинома той же степени, умноженного на $(1 - \zeta_1^2 - \zeta_2^2)^{\frac{1}{2}}$. Решение системы уравнений (1.5) записывается в виде [6, 7]:

$$\beta_{10}^{(0)} = 0, \quad \beta_{20}^{(0)} = 0, \quad \beta_{30}^{(0)}(\zeta_1, \zeta_2) = (1-v) P_{s0}^{(0)} (\mu \pi^2)^{-1} (1 - \zeta_1^2 - \zeta_2^2)^{\frac{1}{2}}$$

Перейдем к решению системы (1.6). Согласно второй формуле (1.8), правая часть (1.6) не зависит от χ_{1n} , χ_{2n} , поэтому результаты [6, 7] применимы и к решению системы уравнений (1.6):

$$\beta_{in}^{(0)}(\zeta_1, \zeta_2) = \omega_{in}^{(0)} (1 - \zeta_1^2 - \zeta_2^2)^{1/2}, \quad \omega_{in}^{(0)} = (1 - v) (1 - v/2)^{-1} (\mu \pi^2)^{-1} J_{in} P_{30}^{(0)}$$

$$J_{in} = \frac{1}{\pi^2} \iint_S (1 - \zeta_1^2 - \zeta_2^2)^{1/2} \Phi_{33}(\zeta_1, \zeta_2) d\zeta_1 d\zeta_2 \quad (1.9)$$

Заметим, что поскольку $|e_{ion} d_{on}/r_0| > 1$, $|\zeta_i| < 1$, то из второй формулы (1.8) следует, что $R_{0n}^{(0)}$ нигде в области интегрирования в нуль не обращается, т. е. интеграл в выражении для J_{in} не является сингулярным.

Перейдем к решению системы уравнений (1.7). К ней нельзя применить метод [6, 7]. Однако решение существенно упрощается благодаря тому, что правая часть системы (1.7) распадается на произведение функций $\Phi_{is}(\chi_{10}, \chi_{20})$, не зависящей от ζ_i (как видно из первой формулы (1.8)), и интеграл, имеющий следующий простой вид:

$$\iint_S \beta_{in}^{(0)}(\zeta_1, \zeta_2) d\zeta_1 d\zeta_2 = \omega_{in}^{(0)} \iint_S (1 - \zeta_1^2 - \zeta_2^2)^{1/2} d\zeta_1 d\zeta_2 = \frac{2\pi}{3} \omega_{in}^{(0)} \quad (1.10)$$

Система (1.7) соответствует, таким образом, случаю, когда на поверхности одной трещины действуют произвольным образом распределенные нагрузки. Напряжения вне трещины (в ее плоскости) выражаются следующим образом [8]:

$$\sigma_{is} = \frac{1}{\pi^2 (\chi_{10}^2 + \chi_{20}^2 - 1)^{1/2}} \iint_S \frac{(1 - \eta_1^2 - \eta_2^2)^{1/2} f_i(\eta_1, \eta_2, \chi_{10}, \chi_{20}) d\eta_1 d\eta_2}{(\eta_1 - \chi_{10})^2 + (\eta_2 - \chi_{20})^2} \chi_{10}, \quad \chi_{20} \in S^* \\ f_i(\eta_1, \eta_2) = p_{i0}^{(3)}(\eta_i) + (-1)^i v (1 - v)^{-1} (\eta_{3-i} - \chi_{(3-i)0}) \times \\ \times \left(\frac{\partial p_{i0}^{(3)}(\eta_1, \eta_2)}{\partial \eta_2} - \frac{\partial p_{i0}^{(3)}(\eta_1, \eta_2)}{\partial \eta_1} \right) \\ f_s(\eta_i) = p_{30}^{(3)}(\eta_i) \quad (1.11)$$

С учетом предыдущих вычислений получим

$$f_i(\eta_1, \eta_2, \chi_{10}, \chi_{20}) = \frac{2p_{30}^{(0)}}{3\pi(1-v/2)} \sum_{k=1}^N \sum_{s=1}^3 J_{sk} [\Phi_{is}(\eta_1, \eta_2) + \\ + (-1)^i v (1 - v)^{-1} (\eta_{3-i} - \chi_{(3-i)0}) (\partial \Phi_{is} / \partial \eta_2 - \partial \Phi_{is} / \partial \eta_1)] \\ f_s(\eta_1, \eta_2; \chi_{10}, \chi_{20}) = \frac{2p_{30}^{(0)}}{3\pi(1-v/2)} \sum_{k=1}^N \sum_{s=1}^3 J_{sk} \Phi_{3s}(\eta_1, \eta_2)$$

Заметим, что J_{sk} является функцией величин $e_{ion} d_{on}/r_0$, m_{pion} , коэффициентов M_{kis} и т. д., т. е. зависит от взаимного расположения макротрещины и каждой из макротрещин. Здесь наблюдается та же закономерность, что и в плоском случае: в рамках третьего приближения микротрещины друг на друга не влияют. Коэффициенты интенсивности напряжений на контуре макротрещины вычисляются по формулам [9]:

$$k_I = \lim_{\rho \rightarrow 0} (2\pi\rho)^{1/2} \sigma_{33}, \quad k_{II} = \lim_{\rho \rightarrow 0} (2\pi\rho)^{1/2} \tau_n, \quad k_{III} = \lim_{\rho \rightarrow 0} (2\pi\rho)^{1/2} \tau_t \quad (1.12)$$

где ρ — расстояние точек тела от контура трещины, а τ_n и τ_t — нормальная

и тангенциальная составляющая напряжений, определяемые по формулам (ϕ – угол, составленный нормалью к контуру трещины с положительным направлением оси x):

$$\tau_n = \sigma_{13} \cos \phi + \sigma_{23} \sin \phi, \quad \tau_t = -\sigma_{13} \sin \phi + \sigma_{23} \cos \phi \quad (1.13)$$

Используя формулы (1.12) и (1.13) и учитывая, что ρ – величина размежная (в безразмерном виде $k_i = \lim (2\pi\rho/r_0)^{1/2}(r_0)^{1/2}\sigma_{33}$), получим

$$k_I^{(3)} = \frac{(2\pi r_0)^{1/2} \lambda^3}{\pi^2} \left[\iint_s \Omega(\eta_1, \eta_2) f_3(\eta_1, \eta_2, \cos \phi, \sin \phi) d\eta_1 d\eta_2 \right]$$

$$k_{II}^{(3)} = \frac{(2\pi r_0)^{1/2} \lambda^3}{\pi^2} \left[\cos \phi \iint_s \Omega(\eta_1, \eta_2) f_1 d\eta_1 d\eta_2 + \sin \phi \iint_s \Omega(\eta_1, \eta_2) f_2 d\eta_1 d\eta_2 \right]$$

$$k_{III}^{(3)} = \frac{(2\pi r_0)^{1/2} \lambda^3}{\pi^2} \left[-\sin \phi \iint_s \Omega(\eta_1, \eta_2) f_1 d\eta_1 d\eta_2 + \cos \phi \iint_s \Omega(\eta_1, \eta_2) f_2 d\eta_1 d\eta_2 \right]$$

$$\Omega(\eta_1, \eta_2) = (1 - \eta_1^2 - \eta_2^2)^{1/2} [(\eta_1 - \cos \phi)^2 + (\eta_2 - \sin \phi)^2]^{-1}$$

Учитывая формулы (1.4) и (1.12), получим $k_i = k_i^{(0)} + k_i^{(3)}$. Поскольку в рамках третьего приближения вклад всех микротрещин в коэффициент интенсивности напряжений определяется суперпозицией вклада каждой микротрещины, то важно исследовать более подробно взаимодействие макротрещины с одной микротрещиной.

2. Рассмотрим достаточно общий случай взаимного расположения макротрещины и микротрещины, когда вектор d_{0k} составляет с плоскостью макротрещины угол α , а плоскость микротрещины образует с плоскостью макротрещины угол ψ . Матрицы коэффициентов e_{ijk} и l_{ijkn} имеют в этом случае вид

$$e = \begin{vmatrix} 0 \\ \cos \alpha \\ \sin \alpha \end{vmatrix}, \quad e_{ik0} = \begin{vmatrix} 0 \\ -\cos(\alpha - \psi) \\ -\sin(\alpha - \psi) \end{vmatrix}$$

$$l_{ij0k} = \begin{vmatrix} 1 & 0 & 0 \\ 0 & \cos \psi & -\sin \psi \\ 0 & \sin \psi & \cos \psi \end{vmatrix}, \quad l_{ijk0} = \begin{vmatrix} 1 & 0 & 0 \\ 0 & \cos \psi & \sin \psi \\ 0 & -\sin \psi & \cos \psi \end{vmatrix}$$

При расположении микротрещины в плоскости, параллельной макротрещине, угол $\psi = 0$ и соотношения (1.14) несколько упрощаются. Матрицы коэффициентов принимают вид

$$e_{i0k} = \begin{vmatrix} 0 \\ \cos \alpha \\ \sin \alpha \end{vmatrix}, \quad \chi_{p0k} = \begin{vmatrix} d \cos \alpha \\ d \sin \alpha \end{vmatrix}, \quad e_{ik0} = \begin{vmatrix} 0 \\ -\cos \alpha \\ -\sin \alpha \end{vmatrix}$$

$$\eta_{p0k} = \begin{vmatrix} \eta_1 \\ \eta_2 - d \cos \alpha \\ -d \sin \alpha \end{vmatrix}, \quad l_{ij0k} = \begin{vmatrix} 1 & 0 & 0 \\ 0 & 1 & 0 \\ 0 & 0 & 1 \end{vmatrix}, \quad m_{pi0k} = \begin{vmatrix} 0 & 0 & 0 \\ 0 & 0 & 0 \\ 0 & 0 & 1 \end{vmatrix}$$

$$l_{ijk0} = \begin{vmatrix} 1 & 0 & 0 \\ 0 & 1 & 0 \\ 0 & 0 & 1 \end{vmatrix}, \quad a_j = \begin{vmatrix} \eta_1 \\ \eta_2 - d \cos \alpha \end{vmatrix}$$

$$m_{pi0k}^* = \begin{vmatrix} 0 & 0 & 0 \\ 0 & 1 & 0 \\ 1 & 0 & 0 \end{vmatrix}, \quad M_{1is}^{0k} = \begin{vmatrix} 0 & 0 & 0 \\ 0 & v & 0 \\ 0 & 0 & 0 \end{vmatrix}, \quad m_{pi0k} = \begin{vmatrix} 0 & 0 & 0 \\ 0 & 0 & 0 \\ 0 & 0 & 1 \end{vmatrix}, \quad m_{pi0k}^* = \begin{vmatrix} 0 & 0 & 0 \\ 0 & 1 & 0 \\ 1 & 0 & 0 \end{vmatrix}$$

$$M_{2is}^{0k} = \begin{vmatrix} v & 0 & 0 \\ 0 & 0 & 0 \\ 0 & 0 & 0 \end{vmatrix}, \quad M_{3is}^{0k} = \begin{vmatrix} 1 & 0 & 0 \\ 0 & 1 & 0 \\ 0 & 0 & 1 \end{vmatrix}, \quad M_{1is}^{k0} = \begin{vmatrix} 0 & 0 & 0 \\ 0 & v & 0 \\ 0 & 0 & 0 \end{vmatrix}, \quad M_{2is}^{k0} = \begin{vmatrix} v & 0 & 0 \\ 0 & 0 & 0 \\ 0 & 0 & 0 \end{vmatrix}$$

$$M_{1is}^{k0*} = \begin{vmatrix} 0 & -v & 0 \\ -v & 0 & 0 \\ 0 & 0 & 0 \end{vmatrix}, \quad M_{2is}^{k0*} = (0), \quad M_{3is}^{k0} = \begin{vmatrix} 1 & 0 & 0 \\ 0 & 1 & 0 \\ 0 & 0 & 1 \end{vmatrix}, \quad M_{1is}^{k0*} = \begin{vmatrix} 0 & -v & 0 \\ -v & 0 & 0 \\ 0 & 0 & 0 \end{vmatrix}$$

$$M_{3is}^{k0*} = (0), \quad M_{2is}^{k0*} = (0), \quad M_{3is}^{k0*} = (0)$$

$$R_{0k}^{(0)} = [\zeta_1^2 + (\zeta_2 - d \cos \alpha)^2 + d^2 \sin^2 \alpha]^{1/2},$$

$$R_{k0}^{(0)} = [\eta_1^2 + (\eta_2 - d \cos \alpha)^2 + d^2 \sin^2 \alpha]^{1/2}$$

Матрицы функций, входящих в (1.14), имеют следующие компоненты:

$$\Phi_{1s}(\eta_1, \eta_2) = \begin{vmatrix} \Psi_{11} & \Psi_{12} & \Psi_{13} \\ \Psi_{21} & \Psi_{22} & \Psi_{23} \\ \Psi_{31} & \Psi_{32} & \Psi_{33} \end{vmatrix} \quad (2.1)$$

$$\varphi_{11} = -(1+v) R_{k0}^{-3} + 3v(\eta_2 - d \cos \alpha)^2 R_{k0}^{-5} + 15d^2 \sin^2 \alpha \eta_1^2 R_{k0}^{-7}$$

$$\varphi_{12} = -3v(\eta_2 - d \cos \alpha) \eta_1 R_{k0}^{-5} - [15d \sin \alpha \eta_1 (\eta_2 - d \cos \alpha)^2 - d^2 \sin^2 \alpha \eta_1 (\eta_2 - d \cos \alpha)] R_{k0}^{-7}$$

$$\varphi_{13} = 3d \sin \alpha \eta_1 R_{k0}^{-5} - 15d^3 \sin^3 \alpha \eta_1 R_{k0}^{-7}, \varphi_{31} = 3d \sin \alpha \eta_1 R_{k0}^{-5} - 15d^3 \sin^3 \alpha \eta_1 R_{k0}^{-7}$$

$$\varphi_{21} = -3v \eta_1 (\eta_2 - d \cos \alpha) R_{k0}^{-5} + 15d^2 \sin^2 \alpha \eta_1 (\eta_2 - d \cos \alpha) R_{k0}^{-7}$$

$$\varphi_{22} = -(1+v) R_{k0}^{-3} + 3v \eta_1^2 R_{k0}^{-5} + 15d^2 \sin^2 \alpha (\eta_2 - d \cos \alpha)^2 R_{k0}^{-7}$$

$$\varphi_{23} = 3d \sin \alpha (\eta_2 + d \cos \alpha) R_{k0}^{-5} - 15d^3 \sin^3 \alpha \eta_2 R_{k0}^{-7} + 15d^4 \sin^3 \alpha \cos \alpha R_{k0}^{-7}$$

$$\varphi_{32} = 3d \sin \alpha (\eta_2 - d \cos \alpha) R_{k0}^{-5} - 15d^3 \sin^3 \alpha \eta_2 R_{k0}^{-7} + 15d^4 \sin^3 \alpha \cos \alpha R_{k0}^{-7}$$

$$\varphi_{33} = -R_{k0}^{-3} - 6d^3 \sin^3 \alpha R_{k0}^{-5} + 15d^4 \sin^4 \alpha R_{k0}^{-7}$$

$$\frac{\partial \Phi_{1s}}{\partial \eta_2} - \frac{\partial \Phi_{2s}}{\partial \eta_1} = \begin{vmatrix} v_{11} \\ v_{12} \\ v_{13} \end{vmatrix}$$

$$v_{11} = 3(1+4v)(\eta_2 - d \cos \alpha) R_{k0}^{-5} + 15[-v(\eta_2 - d \cos \alpha)^3 -$$

$$-v \eta_1^2 (\eta_2 - d \cos \alpha) - d^2 \sin^2 \alpha (\eta_2 - d \cos \alpha)] R_{k0}^{-7} +$$

$$+ 105[-d^2 \sin^2 \alpha (\eta_2 - d \cos \alpha) \eta_1^2 + d^2 \sin^2 \alpha \eta_1^3] R_{k0}^{-9}$$

$$v_{12} = 15[v \eta_1 (\eta_2 - d \cos \alpha)^2 + v \eta_1^3] R_{k0}^{-7} - 3 \eta_1 (1+2v) R_{k0}^{-5}$$

$$v_{13} = -15d \sin \alpha \eta_1 (\eta_2 - d \cos \alpha) R_{k0}^{-7}$$

Подставляя выражения (2.1) в формулу (1.14), для третьего приближения получим

$$k_I^{(3)} = (\pi r_0)^{1/2} p_{30}^{(0)} \left\{ 1 + \frac{2\lambda^3}{3\pi^3 (1-v/2)} \left[J_{2k} \iint_S \Omega(\eta_1, \eta_2) \Phi_{32}(\eta_1, \eta_2) d\eta_1 d\eta_2 + \right. \right.$$

$$\left. \left. + J_{3k} \iint_S \Omega(\eta_1, \eta_2) \Phi_{33}(\eta_1, \eta_2) d\eta_1 d\eta_2 \right] \right\} \quad (2.3)$$

$$k_{II}^{(3)} = \frac{2\lambda^3 (\pi r_0)^{1/2} p_{30}^{(0)}}{3\pi^3} \left\{ \cos \varphi \left[J_{2k} \iint_S \Omega(\eta_1, \eta_2) \Psi_{12}(\eta_1, \eta_2) d\eta_1 d\eta_2 + \right. \right.$$

$$\left. \left. + J_{3k} \iint_S \Omega(\eta_1, \eta_2) \Psi_{13}(\eta_1, \eta_2) d\eta_1 d\eta_2 \right] + \sin \varphi \left[J_{2k} \iint_S \Omega(\eta_1, \eta_2) \Psi_{22}(\eta_1, \eta_2) \times \right. \right.$$

$$\left. \left. \times d\eta_1 d\eta_2 + J_{3k} \iint_S \Omega(\eta_1, \eta_2) \Psi_{13}(\eta_1, \eta_2) d\eta_1 d\eta_2 \right] \right\}$$

$$k_{III}^{(3)} = \frac{2\lambda^3 (\pi r_0)^{1/2} p_{30}^{(0)}}{3\pi^3} \left\{ -\sin \varphi \left[J_{2k} \iint_S \Omega(\eta_1, \eta_2) \Psi_{12}(\eta_1, \eta_2) d\eta_1 d\eta_2 + \right. \right.$$

$$\left. \left. + J_{3k} \iint_S \Omega(\eta_1, \eta_2) \Psi_{13}(\eta_1, \eta_2) d\eta_1 d\eta_2 \right] + \cos \varphi \left[J_{2k} \iint_S \Omega(\eta_1, \eta_2) \Psi_{22}(\eta_1, \eta_2) \times \right. \right.$$

$$\left. \left. \times d\eta_1 d\eta_2 + J_{3k} \iint_S \Omega(\eta_1, \eta_2) \Psi_{23}(\eta_1, \eta_2) d\eta_1 d\eta_2 \right] \right\}$$

$$J_{2k} = 3d \sin \alpha \int_0^1 d\rho \int_0^{2\pi} (d \cos \alpha - \rho \cos \theta) (-R_{0k}^{-4} + 5d^2 \sin^2 \alpha) R_{0k}^{-7} \rho (1-\rho^2)^{1/2} d\theta$$

$$J_{3k} = \int_0^1 d\rho \int_0^{2\pi} (-R_{0k}^{-4} - 6R_{0k}^{-2} d^2 \sin^2 \alpha + 15d^2 \sin^2 \alpha) R_{0k}^{-7} \rho (1-\rho^2)^{1/2} d\theta$$

$$\Psi_{12}(\eta_1, \eta_2) = 9v^2(1-v)^{-1} \eta_1 (\eta_2 - d \cos \alpha) R_{0k}^{-5} +$$

$$+ 15[-d \sin \alpha \eta_1 (\eta_2 - d \cos \alpha)^2 + d^2 \sin^2 \alpha \eta_1 (\eta_2 - d \cos \alpha) -$$

$$- v^2(1-v)^{-1} \eta_1 (\eta_2 - d \cos \alpha)^3 - v^2(1-v)^{-1} \eta_1^3 (\eta_2 - d \cos \alpha)] R_{0k}^{-7}$$

$$\Psi_{13}(\eta_1, \eta_2) = 3d \sin \alpha \eta_1 R_{0k}^{-5} + 15[-d^3 \sin^3 \alpha \eta_1 +$$

$$+ v(1-v)^{-1} d \eta_1 \sin \alpha (\eta_2 - d \cos \alpha)^2] R_{0k}^{-7}$$

$$\Psi_{22}(\eta_1, \eta_2) = -(1+v) R_{0k}^{-3} + 3v(2+v)(1-v)^{-1} R_{0k}^{-5} +$$

$$+ 15[d^2 \sin^2 \alpha (\eta_2 - d \cos \alpha)^2 + v^2(1-v)^{-1} \eta_1^2 (\eta_2 - d \cos \alpha)^2 + \eta_1^2] R_{0k}^{-7}$$

$$\Psi_{23}(\eta_1, \eta_2) = 3d \sin \alpha (\eta_2 - d \cos \alpha) R_{0k}^{-5} + 15[-d^3 \sin^3 \alpha (\eta_2 - d \cos \alpha) -$$

$$- v(1-v)^{-1} d \sin \alpha \eta_1^2 (\eta_2 - d \cos \alpha)] R_{0k}^{-7}$$

Заметим, что интегралы в (2.3) являются несобственными, но сходящимися. Выделение сингулярности может быть проведено следующим способом:

$$\iint_s \Omega(\eta_1, \eta_2) \Psi_{12}(\eta_1, \eta_2) d\eta_1 d\eta_2 = \Psi_{12}(1, \varphi) \iint_s \Omega(\eta_1, \eta_2) d\eta_1 d\eta_2 +$$

$$+ \iint_s [\Psi_{12}(\eta_1, \eta_2) \Psi_{12}(1, \varphi)] \Omega(\eta_1, \eta_2) d\eta_1 d\eta_2 \quad (2.4)$$

Легко видеть, что

$$\iint_s \Omega(\eta_1, \eta_2) d\eta_1 d\eta_2 = \int_0^1 \int_0^{2\pi} \frac{\rho (1-\rho^2)^{1/2} d\rho d\theta}{1+\rho^2-2\rho \cos(\theta-\varphi)} = 2\pi$$

Второй интеграл в (2.4) может быть определен численно. Результаты вычисления коэффициента интенсивности напряжений $k_I [p_{30}^{(0)}(\pi r_0)^{1/2}]^{-1}$

приведены на фиг. 2 (кривые 1–3 соответствуют $\alpha=1,1; 1,3; 1,5$).

Рассмотрим частные случаи, в которых интегралы берутся в элементарных функциях.

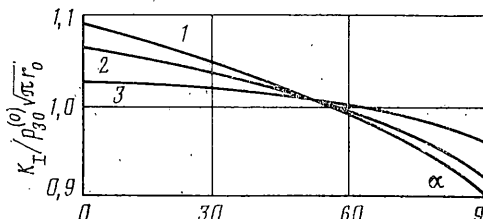
При расположении макротрешины и микротрешины в одной плоскости ($\alpha=0, \varphi=0$) имеется только один коэффициент интенсивности напряжений, который вычисляется по формуле (φ – угловая координата точек контура макротрешины):

$$k_I(\varphi) = \frac{(\pi r_0)^{1/2}}{\pi^2} \iint_s \Omega(\eta_1, \eta_2) f_3(\eta_1, \eta_2) d\eta_1 d\eta_2 \quad (2.5)$$

$$f_3 = \frac{2p_{30}^{(0)}}{3\pi(1-v/2)} \sum_{s=1}^3 J_{sh} \Phi_{ss}(\eta_1, \eta_2),$$

$$J_{sh} = -\frac{1}{\pi^2} \iint_s \frac{(1-\xi_1^2-\xi_2^2)^{1/2} d\xi_1 d\xi_2}{[\xi_1^2+(\xi_2-d)^2]^{1/2}}$$

$$\Phi_{ss}(\xi_1, \xi_2) = -[\xi_1^2 + (\xi_2-d)^2]^{-1/2}, \quad \Phi_{3s}(\eta_1, \eta_2) = -[\eta_1^2 + (\eta_2-d)^2]^{-1/2}$$



Фиг. 2

Здесь первый интеграл выражается в конечном виде при $\varphi = \pm\pi/2$, т. е. в самой близкой и самой дальней к микротрещине точках. Перейдем к вычислению интеграла.

$$J_{sh} = -\frac{1}{\pi^2} \iint_S \frac{(1-\zeta_1^2-\zeta_2)^{1/2} d\zeta_1 d\zeta_2}{[\zeta_1^2 + (\zeta_2-d)^2]^{3/2}} \quad (2.6)$$

Выполняя замену переменных $\zeta_1 = \rho \sin \theta$, $\zeta_2 = d + \rho \cos \theta$, будем иметь

$$J_{sh} = -\frac{1}{\pi^2} \int_{-\alpha_1}^{\alpha_1} \left\{ \int_{r_0}^{r_1} (1-d^2 \sin^2 \theta)^{1/2} \left[1 - \left(\frac{\rho-d \cos \theta}{(1-d^2 \sin^2 \theta)} \right)^2 \right]^{1/2} \rho^{-2} d\rho \right\} d\theta \quad (2.7)$$

Сделаем еще одну замену переменных $z = (\rho-d \cos \theta)(1-d^2 \sin^2 \theta)^{-1/2}$. Можно показать, что $-1 < z \leq 1$ при $d > 1$. С учетом этой замены переменных интеграл (2.7) запишем следующим образом:

$$J_{sh} = \int_{-\alpha_1}^{\alpha_1} d\theta \int_{-1}^1 \frac{(1-z^2)^{1/2} dz}{z-x} = -\frac{2}{\pi} \left(\arcsin \frac{1}{d} + (d^2-1)^{-1/2} \right), \quad \alpha_1 = \arcsin(\alpha)^{-1} \quad (2.8)$$

Необходимо определить еще интеграл (вычисляется тем же способом):

$$\begin{aligned} I &= \iint_S \frac{\Omega(\eta_1, \eta_2) d\eta_1 d\eta_2}{[\eta_1^2 + (\eta_2-d)^2]^{3/2}} \\ I &= \frac{\pi(2+d)}{d(d+1)^{1/2}(d-1)^{5/2}} + \frac{\pi}{(d-1)^{5/2}} \left\{ 9,48 \ln \times \right. \\ &\times \left. \frac{1+d+(d^2-1)^{1/2}+[d+(d^2-1)^{1/2}]^{1/2}}{1+d+(d^2-1)^{1/2}-[d+(d^2-1)^{1/2}]^{1/2}} + \operatorname{arctg} \frac{\sqrt{2}[d+(d^2-1)^{1/2}]^{1/2}}{1-d-(d^2-1)^{1/2}} \right\} \end{aligned} \quad (2.9)$$

Подставляя все полученные выражения в (2.5), получим для третьего приближения в ближайшей к микротрещине точке макротрещины

$$\begin{aligned} k_1^{(3)} &= p_{30}^{(0)} (\pi r_0)^{1/2} \left\{ 1 + \frac{4\lambda^3}{3\pi^3 (1-\nu/2) (d-1)^3} ((d-1)^{1/2} \arcsin(d)^{-1} + (d+1)^{-1/2}) \times \right. \\ &\times \left[\frac{2+d}{d(d+1)^{1/2}} + 9,48 \ln \frac{1+d+(d^2-1)^{1/2}+[d+(d^2-1)^{1/2}]^{1/2}}{1+d+(d^2-1)^{1/2}-[d+(d^2-1)^{1/2}]^{1/2}} + \right. \\ &\left. \left. + \operatorname{arctg} \frac{\sqrt{2}[d+(d^2-1)^{1/2}]^{1/2}}{1-d-(d^2-1)^{1/2}} \right] \right\} \end{aligned} \quad (2.10)$$

3. Рассмотрим также случай, когда микротрещина расположена над макротрещиной, матрицы коэффициентов e_{ijk} и l_{ijk0} имеют вид

$$e_{ik0} = \begin{vmatrix} 0 \\ 0 \\ -1 \end{vmatrix}, \quad e_{i0k} = \begin{vmatrix} 0 \\ 0 \\ 1 \end{vmatrix}, \quad l_{ijk0} = \begin{vmatrix} 1 & 0 & 0 \\ 0 & 1 & 0 \\ 0 & 0 & 1 \end{vmatrix} \quad (3.1)$$

Функции $R_{0k}^{(0)}$ и $R_{k0}^{(0)}$ и интеграл J_{sh} в этом случае выражаются следующим образом:

$$R_{k0}^{(0)} = [\eta_1^2 + \eta_2^2 + (d_{k0}/r_0)^2]^{1/2}, \quad R_{0k}^{(0)} = [\zeta_1^2 + \zeta_2^2 + (d_{0k}/r_0)^2]^{1/2}$$

$$J_{sh} = \frac{1}{\pi^2} \int_0^{2\pi} d\theta \int_0^1 \rho (1-\rho)^{1/2} [-R_{0k}^{-3} - 6d^2 R_{0k}^{-5} + 15d^4 R_{0k}^{-7}] d\rho$$

Интеграл вычисляется в конечном виде с помощью замены переменных $\eta_1 = \rho \cos \theta$, $\eta_2 = \rho \sin \theta$, и третье приближение записывается в виде

$$k_I^{(3)} = p_{30}^{(0)} (\pi r_0)^{1/2} \left\{ 1 + \frac{2\lambda^3}{3\pi^3} J_{sh} \left[\frac{8d^3}{(1+d^2)^3} - \frac{6d^2+8d^4}{(1+d^2)^{1/2}} \right] \right.$$

$$k_{II}^{(3)} = p_{30}^{(0)} (\pi r_0)^{1/2} \lambda^3 \left\{ J_{sh} \left[\frac{4}{(1+d^2)^2} - \frac{8d^3}{(1+d^2)^3} - \right. \right.$$

$$\left. \left. - \frac{3d}{(1+d^2)^{1/2}} + \frac{15d^4}{(1+d^2)^{1/2}} \right] \right\}, \quad k_{III}^{(3)} = 0$$

$$J_{sh} = [\arcsin(1+d)^{-1/2} + 6d^2(1+d^2)^{-1/2} + d(1-d^2)(1+d^2)^{-2}]$$

Из формул (2.10) и (3.2) следует, что наличие микротрешины в плоскости макротрешины увеличивает коэффициент интенсивности напряжений и способствует прорастанию макротрешины, в то время как наличие микротрешины над макротрещиной создает экранирующий эффект. Суммарный коэффициент интенсивности напряжений при равномерном по всем координатам расположении микротрещин, таком, что на отрезке, равном радиусу, помещается три микротрешины, равен $1,22p_{30}^{(0)}(\pi r_0)^{1/2}$. Это говорит о том, что стративание макротрешины в поврежденном материале облегчается.

ЛИТЕРАТУРА

1. Тамуж В. П., Куксенко В. С. Микромеханика разрушения полимерных материалов. Рига: Зиннатне, 1978. 294 с.
2. Болотин В. В. Уравнения роста усталостных трещин // Изв. АН СССР. МТТ. 1983. № 4. С. 153–160.
3. Болотин В. В. Объединенные модели в механике разрушения // Изв. АН СССР. МТТ. 1984. № 3. С. 127–137.
4. Ромалис Н. Б., Тамуж В. П. Распространение магистральной трещины в теле с распределенными микротрещинами // Механика композит. материалов. 1984. № 1. С. 42–51.
5. Кит Г. С. Общий метод решения пространственных задач теплопроводности и термоупругости для тела с дискообразными трещинами // Прикл. механика. 1977. Т. 13. № 12. С. 18–24.
6. Штаерман И. Я. Контактная задача теории упругости. М.; Л.: Гостехиздат. 1949. 270 с.
7. Ворович И. И., Александров В. М., Бабешко В. А. Неклассические смешанные задачи теории упругости. М.: Наука, 1974. 455 с.
8. Кит Г. С., Хай М. В. Интегральні рівняння просторових задач термопружності для тіл з тріщинами. Доп. АН УССР. Сер. А. 1975. № 12. С. 1105–1109.
9. Kassir M. K., Sih G. C. Three-dimensional stress distribution around an elliptical crack under arbitrary loadings // Trans. ASME Ser. E. J. Appl. Mech. 1966. V. 33. N 3. P. 601–611.

Воронеж, Рига

Поступила в редакцию
2.II.1987